Биомеханическое моделирование реакции нижней челюсти с полным протезом на продукты питания различной жесткости

Аннотация. Целью исследования является определение реакции полного протеза и напряженно-деформированного состояния нижней челюсти с установленным на имплантаты полным протезом при действии жевательной нагрузки, соответствующей продуктам питания различной жесткости. Рассматриваются случаи установки полного протеза на два, четыре и шесть сферических имплантатов. Модель нижней челюсти является параметризованной по толщине слизистой оболочки и толщине кортикальной костной ткани. На основании конечно—элементного расчета установлено, что установка полного протеза нижней челюсти на два или шесть имплантатов является наиболее благоприятной для пациента.

Kлючевые слова: нижняя челюсть, полный протез, сферический имплантат, слизистая оболочка, мышечные силы, жевательная нагрузка, конечно-элементное моделирование, эквивалентные напряжения.

Введение. Одним из подходов к эффективному восстановлению жевательной функции при полном отсутствии зубов нижней челюсти является установка полного протеза на имплантаты. При этом существенное влияние на нагружение тканей слизистой оболочки и костной ткани оказывает количество имплантатов, используемое при тотальном протезировании, жесткость и локализация продуктов питания. Целью настоящей работы является определение реакции протеза и эквивалентных напряжений, возникающих в тканях нижней челюсти с установленным на имплантаты полным протезом при действии жевательной нагрузки, соответствующей продуктам питания различной жесткости.

Конечно—элементное моделирование. Параметризованная по толщинам слизистой оболочки и слоя кортикальной костной ткани конечно—элементная модель нижней челюсти с протезом разработана на основании томографических данных. Толщина слизистой оболочки изменялась в диапазоне от 2.0 до 3.0 мм; толщина кортикальной костной ткани принимала значения из диапазона от 3.1 до 3.7 мм. Эти значения геометрических параметров биологических тканей соответствуют экспериментальным данным [1]. Длина имплан-

Секция 7 (Section 7) 637

тата, диаметр сферического элемента, высота соединения составляли $10.0~\mathrm{mm}$, $4.2~\mathrm{mm}$ и $9.4~\mathrm{mm}$ соответственно.

Граничные условия соответствовали жесткому закреплению поверхностей нижнечелюстных мыщелков, а также действию семи групп мышечных сил, участвующих в пережевывании пищи [2]. Направление мышечных сил определялось направляющими косинусами в соответствии с данными [3]. Предполагалось, что продукты питания располагаются (слева) в области второго премоляра и первого моляра нижней челюсти. Граничные условия для нижней челюсти с установленным полным протезом обозначены на рис. 1. Значения сил, приведенные на рис. 1, соответствуют величинам соответствующих мышечных сил в норме согласно данных работы [4].

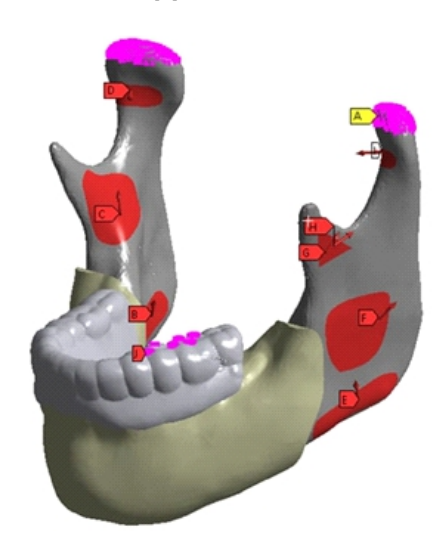


Рис. 1. Граничные условия для модели нижней челюсти с прикрепленным протезом: маркер A — зафиксированные узлы на поверхностях нижнечелюстных суставов; маркер E — результирующая сил от действия поверхностной жевательной мышцы, 190.38 H; маркер F — результирующая от действия глубокой жевательной мышцы, 81.691 H; маркер B — результирующая от действия медиальной крыловидной мышцы, 132.96 H; маркер C — результирующая от действия передней височной мышцы, 154.88 H; маркер G — результирующая от действия средней височной мышцы, 91.767 H; маркер H — результирующая от действия задней височной мышцы, равная 71.073 H; маркеры D и I — результирующие от действия боковой крыловидной мышцы, 34.351 H; маркер J — область действия жевательной нагрузки на бугорки второго премоляра и первого моляра.

Полный протез жестко фиксировался на имплантатах. Слой кортикальной костной ткани также жестко прикреплялся к губчатой кости. Между остальными элементами модели задавалось контактное взаимодействие с учетом трения. Коэффициенты трения между имплантатом и кортикальной костной тканью, имплантатом и губчатой костной тканью, имплантатом и абатментом, а также между полным протезом и слизистой оболочкой принимались равными 0.40, 0.72, 0.323 и 0.334 [5, 6]. При моделировании имплантатов использовалось виртуальное резьбовое соединение высотой 3.50 мм, шагом резьбы 0.25 мм и углом наклона резьбы 30° .

Физико-механические свойства компонентов модели (губчатой и кортикальной костной ткани, слизистой оболочки, полного протеза, имплантатов и абатментов) задавались в соответствии с данными работы [2].

Конечно—элементный расчет. Конечно—элементный расчет выполнен с использованием программного комплекса ANSYS Workbench 22 R1 (Ansys Inc., USA). Проверка сеточной сходимости осуществлялась на основании сравнительного анализа величин эквивалентных напряжений, возникающих в кортикальной костной ткани, при фиксированной области пятого и шестого зубов и действии мышечных сил норме. В результате количество конечных элементов узлов модели составило 1293635 и 1915172 соответственно. Размер ребра конечного элемента для различных компонентов модели изменялся от 0.5 мм до 3.0 мм.

При расчете реакции нижней челюсти с установленным на различное количество имплантатов полным протезом величины мышечных сил принимали значения равные величинам, приведенным на рис. 1, умноженным на коэффициент, изменяющийся от 0.2 до 2.0 с шагом 0.2. Для каждой группы значений мышечных сил определялась результирующая реакции протеза в области пятого и шестого зубов, соответствующая воздействию продуктов питания на протез, а также эквивалентные напряжения, возникающие в слизистой оболочке. На основании значений эквивалентных напряжений осуществлялась оценка болевых ощущений, возникающих в слизистой оболочке пациента, при воздействии на протез различных продуктов питания на основании экспериментальных данных для напряжений [7].

Заключение. В результате конечно–элементного моделирования получены следующие результаты:

1. Независимо от количества имплантатов, результирующие реактивные силы в области пятого и шестого зубов полного протеза при возрастании величин мышечных сил до значений в норме принимают значения, соответствующие силам, необходимым для пережевывания различных продуктов питания (шоколад, яблоко, морковь, колбасные изделия) [8] без возникновения болевых ощущений в слизистой оболочке.

Секция 7 (Section 7) 639

2. Наиболее неблагоприятным для пациента является установка полного протеза на четыре имплантата, поскольку в этом случае для пережевывания одних и тех же продуктов питания необходимо прикладывать большие по величине мышечные силы по сравнению со случаями установки полного протеза на два или шесть имплантатов.

 С увеличением толщины слизистой оболочки наблюдается более равномерное распределение эквивалентных напряжений, возникающих в ней при действие на полный протез продуктов питания; в слизистой оболочке малой толщины область высоких напряжений располагается в окрестности имплантатов.

Работа выполнена в рамках задания 1.7.1.4 «Разработка дифференциальных и дробно-дифференциальных методов и их применение к моделированию сложных биомеханических и экономических систем» Государственной программы научных исследований «Конвергенция».

Литература

- Swasty D., Lee J. S., Huang J. C., Koutaro M., Gansky S. A., Hatcher D., Miller A. J. Anthropometric analysis of the human mandibular cortical bone as assessed by conebeam computed tomography // J. Oral Maxillofacial Surg. 2009. Vol. 67. No. 3. P. 491–500. DOI: 10.1016/j.joms.2008.06.089
- [2] Moldoveanu S.A.B., Munteanu F., Forna N.C. Impact of implant-retained mandibular overdenure on oral mucosa a finite element analysis // Roman. J. Oral Rehabil. 2020. Vol. 12. No. 1. P. 6–12.
- [3] Daas M., Dubois G., Bonnet A.S., Lipinski P., Rignon-Bret C. A complete finite element model of a mandibular implant-retained overdenture with two implants: Comparison between rigid and resilient attachment configurations // Med. Eng. Phys. 2008, Vol. 30. P. 218–225.
- [4] Huang H.-L., Su K.-Ch., Fuh L.-J., Chen Michael Y. C., Wu J., Tsai M.-T., Hsu J.-T. Biomechanical analysis of a temporomandibular joint condylar prosthesis during various clenching tasks // J. Cranio-Maxillofacial Surg. 2015. Vol. 43. No. 7. P. 1194–1201. DOI: 10.1016/j.jcms.2015.04.016
- [5] Prados-Privado M., Martinez-Martinez C., Gehrke S. A., Prados-Frutos J. C. Influence of bone definition and finite element parameters in bone and dental implants stress: a literature review // Biology. 2020. Vol. 9. P. 224. DOI: 10.3390/biology9080224
- [6] Liu J., Pan Sh., Dong J., Mo Zh., Fan Yu., Feng H. Influence of implant number on the biomechanical behaviour of mandibular implant-retained/supported overdentures: a three-dimensional finite element analysis // J. Dent. 2013. Vol. 41. No. 3. P. 241–249. DOI: 10.1016/j.jdent.2012.11.008
- [7] Арутюнов С. Д., Перцов С. С., Муслов С. А., Шанидзе З. Л. Исследования порогов болевой чувствительности слизистой оболочки полости рта к механическим стимулам // Рос. Стоматолог. Ж. 2018. Т. 22. № 1. С 11–17. DOI: 10.18821/1728-2802-2018-22-1-11-17

Acta Bioeng. Biomech. 2016. Vol. 18, No. 2. P. 81-91.

Stróżyk P., Bałchanowski J.K. Effect of foodstuff on muscle forces during biting off //

Санкт-Петербургский государственный университет Saint-Petersburg State University

Х Поляховские чтения

Материалы

международной научной конференции по механике, 23–27 сентября 2024 г., Санкт-Петербург, Россия

X Polyakhov's Reading

Proceedings

of the International Scientific Conference on Mechanics, September 23–27, 2024, Saint–Petersburg, Russia